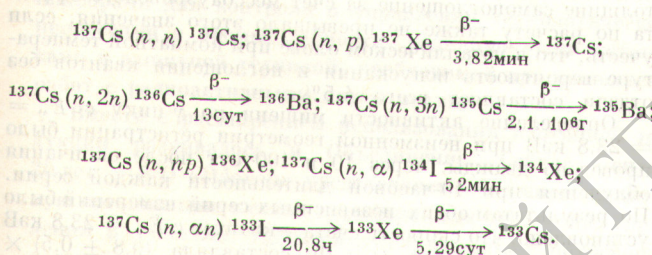


Функции возбуждения реакций  $^{136}\text{Cs} + n$ , мб

$E_n$ , МэВ	(n, n)	(n, p)	(n, n)	(n, 2n)	(n, 3n)	(n, p)	(n, pn)	(n, $\alpha$ )	(n, $\alpha n$ )	$\sigma_{n, \gamma}$ [5]	$\sigma_b$
20	407	12,2	65	559	1005	8	1,7	0,007	0,07	Нет свед.	1566
19	372	8,7	72	783	807	6,4	0,7	0,01	0,05	То же	1591
18	341	5,8	81	1098	526	4,6	0,2	0,017	0,028	»	1624
17	310	3,5	90	1436	210	2,9	0,04	0,017	0,013	»	1646
16	280	1,9	103	1640	35	1,7	0,003	0,016	0,004	»	1675
15	250	0,9	118	1691	—	0,8	0,0007	0,014	—	»	1691
14	219	0,34	137	1702	—	0,3	—	0,008	—	»	1702
13	192	0,09	172	1707	—	0,08	—	—	—	»	1707
12	166	0,02	249	1681	—	0,01	—	—	—	»	1681
11	142	—	431	1580	—	—	—	—	—	»	1580
10	118	—	865	1220	—	—	—	—	—	»	1220
9	96	—	1796	391	—	—	—	—	—	~ 1	391
8	74	—	2270	—	—	—	—	—	—	~ 1	~ 1
7	54	—	2360	—	—	—	—	—	—	~ 1	~ 1
6	36	—	2490	—	—	—	—	—	—	~ 1	~ 1
5	21	—	2630	—	—	—	—	—	—	~ 3	~ 3
4	8,8	—	2720	—	—	—	—	—	—	~ 3	~ 3
3	1,2	—	2730	—	—	—	—	—	—	~ 8	~ 8
2	0,7	—	2900	—	—	—	—	—	—	~ 8	~ 8
1	—	—	3090	—	—	—	—	—	—	~ 20	~ 20
										~ 40	~ 40

вать следующие реакции:



Реакции (n, n) и (n, p) приводят к образованию исходного нуклида, т. е. они бесполезны для выживания. При  $E \leq 8$  МэВ реакция (n, n) является основной, и вклад в выживание будет вносить только реакция (n,  $\gamma$ ), сечение которой  $< 0,04$  б [5]. Эффективный период полураспада, вычисленный по приведенной выше формуле, где  $\sigma(E)\varphi(E)$  численно проинтегрировано по энергии нейтронов, со-

ставляет 1 год (спектр нейтронов взят из публикации [4] тогда как по данным работы [3] ( $\sigma_{n,\gamma} = 1,8$  б)  $T_{1/2} = 0,42$  года: интегральная плотность потока нейтронов в обоих случаях принята  $10^{17}$  нейтр./ $(\text{см}^2 \cdot \text{с})$ ). Это обстоятельство следует учитывать при оценке производительности установки по переработке отходов, предложенной в работе [3].

## СПИСОК ЛИТЕРАТУРЫ

- Steinberg M., Wotzak G., Manowitz B. Report BNL 8558, 1964.
- Claiborne H. Report ORNL-TM-3964, 1972.
- Gregory M., Steinberg M. Report BNL 11915, 1967.
- Барашенков В. С., Тонеев В. Д., Чигринов С. Е. Препринт ОИЯИ Р2-7694. Дубна, 1974.
- Абагян Л. Н., Николаев М. М. — В кн.: Ядерные константы. Вып. 8. Ч. 2. М., изд. ЦНИИатоминформ, 1973, с. 97.
- Blann M. — Nucl. Phys., 1968, v. 80, p. 223.

Поступило в Редакцию 18.03.81

УДК 621.039.8.002

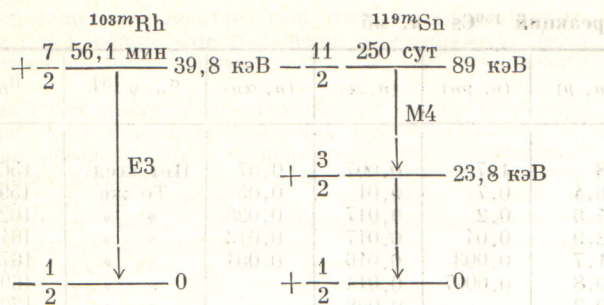
## Получение изомеров $^{103m}\text{Rh}$ и $^{119m}\text{Sn}$ с помощью релятивистских электронов

ЦИНОЕВ В. Г., ЧЕРТОВ Ю. П., ШРАМЕНКО Б. И.

Как известно, большинство вариантов, предлагаемых для создания источника стимулированного  $\gamma$ -излучения, предусматривает инверсионную заселенность уровней долгоживущих мёссбауэровских изомеров. При этом во избежание нарушения условий резонанса от ядра к ядру непременным требованием является высокая степень однородности как химического, так и изотопного окружения ядер изомера. Наиболее просто удовлетворить эти требования можно при непосредственном переводе ядер из основного в возбужденное изомерное состояние, т. е. исключив получение изомера с помощью ядерных реакций.

Представляется перспективным возбуждать долгоживущие ядерные уровни,  $\gamma$ -переходы которых имеют высокую степень мультипольности, с помощью релятивистских электронов. Эффективность этого метода физически объясняется тем, что именно при таком возбуждении возможна передача ядру необходимого момента количества движения. Действительно, для «виртуального» фотона, поглощаемого ядром в процессе рассеяния электрона, выполняется условие

$$k^2 = (P_1 - P_2)^2 > (E_\gamma/c)^2, \text{ т.е. } \hbar k c > E_\gamma,$$

Схема распада  $^{103m}\text{Rh}$  и  $^{119m}\text{Sn}$  в основное состояние

где  $P_1$  и  $P_2$  — импульсы электрона до и после рассеяния;  $E_\gamma$  — энергия  $\gamma$ -перехода. Так как при достаточно высоких энергиях электрона может быть выполнено условие  $kR > 1$  ( $R$  — радиус ядра), передача ядру необходимого момента количества движения не только возможна, но и осуществляется с достаточно высокой вероятностью.

Была исследована возможность получения с помощью релятивистских электронов изомерных состояний ядер  $^{103m}\text{Rh}$  и  $^{119m}\text{Sn}$  (см. рисунок). Информация о степени налипания  $^{103m}\text{Rh}$  в облученной родиевой мишени получена посредством регистрации  $K$ -серии рентгеновского излучения ( $E_K \approx 20.2$  кэВ), сопровождающего распад изомера. Для  $^{119m}\text{Sn}$  сечение возбуждения определялось по интенсивности  $\gamma$ -лука энергии 23.8 кэВ, который возникает при каскадной разрядке изомерного состояния ядра в основное.

В работе использовался Si (Li)-детектор, разрешение которого в исследуемом энергетическом диапазоне составляло 0,36 кэВ. Эффективность регистрации  $\varepsilon$  при выбранной геометрии опыта была установлена с помощью  $K$ -серий рентгеновского излучения  $^{109}\text{Cd}$  ( $E_{KX} \approx 22.5$  кэВ), калиброванного по абсолютной активности.

Схема распада этого изотопа позволяет проводить его калибровку непосредственно по активности дочернего изомера  $^{109m}\text{Ag}$  методом  $e_K$ ,  $KX$ -совпадений. В то же время известно [1], что отношение активности  $^{109}\text{Cd}$  как излучателя рентгеновской  $K$ -серии к его абсолютной активности составляет  $1.02 \pm 0.14$ .

С учетом погрешности определения этого соотношения было установлено, что  $\varepsilon = (9.8 \pm 1.4) \cdot 10^{-3}$ . Мишени из исследуемых изотопов облучали одновременно в течение 1 ч на выведенном пучке электронов энергией 260 МэВ при токе пучка 1,6 мА.

**Родий.** Облучаемая мишень представляла собой металлическую фольгу толщиной 60 мг/см<sup>2</sup>, в которой по расчету потеря интенсивности  $K$ -серии рентгеновского излучения за счет фотоэлектрического самопоглощения составляла 34 %. Необходимо учесть, что под действием электронов наряду с возбуждением изомера происходит электродезинтеграция ядра мишени, приводящая к образованию новых изотопов. При различного рода радиоактивных превращениях этих ядер не исключена возможность появления рентгеновского излучения постороннего изотопа родия.

Чтобы выяснить парциальный вклад  $KX$ -излучения, соответствующего именно  $^{103m}\text{Rh}$ , исследовали временной ход интенсивности в области рентгеновского пика родия. Было проведено 8 серий измерений длительностью 150 с через каждые 15 мин. При анализе кривой распада установлено, что к моменту окончания облучения вклад  $S$  изомера  $^{103m}\text{Rh}$  в рентгеновский пик родия составляет  $(88 \pm 4)\%$ . Остальной вклад приходится на более долгоживущий компонент с  $T_{1/2} \approx 5$  ч. Можно предположить, что этот компонент своим присутствием обязан частичной регистрации детектором рентгеновского излучения рутения, появляющегося при распаде  $^{99m}\text{Ru}$ , который имеет период полураспада 4,7 ч.

Вычисленные парциальные вклады компонентов позволили установить скорость регистрации детектором рентгеновских квантов от  $^{103m}\text{Rh}$ , экстраполированную к начальному моменту времени. С учетом погрешностей измерения кривой распада и определения относительных вкладов присутствующих в ней компонентов это значение при  $t = 0$  составило  $A = (282 \pm 20)$  отсчет./с.

Сечение возбуждения определяли с помощью формулы

$$\sigma = \frac{A}{(1 - e^{-\lambda T_{\text{обл}}}) \varepsilon n I R},$$

где  $\varepsilon$  — эффективность регистрации излучения;  $n$  — толщина мишени ( $n = 3.5 \cdot 10^{20}$  атом/см<sup>2</sup>);  $T_{\text{обл}}$  — продолжительность облучения;  $\lambda$  — константа распада изомера;  $I$  — ток электронов ( $I = 10^{13}$  электр.с);  $\phi$  — число квантов  $KX$ -серии на один акт распада изомера, согласно [2] равное  $(8.7 \pm 1.8) \cdot 10^{-2}$ ;  $R$  — вероятность выхода излучения из мишени ( $R = 0.66$ ).

Используя экспериментальное значение  $A$  и учитывая неточность спектроскопических данных как в определении  $\phi$ , так и тех, которые приводились при нахождении  $\varepsilon$ , установили, что при энергии 260 МэВ сечение образования  $^{103m}\text{Rh}$   $\sigma = (2.7 \pm 1.1) \cdot 10^{-28}$  см<sup>2</sup>.

**Олово.** Облучаемую мишень толщиной 15 мг/см<sup>2</sup> приготовляли напылением металлического олова, обогащенного до 91,4 % изотопом  $^{119}\text{Sn}$ . Толщина используемой мишени позволяла не учитывать при регистрации не превышающую 1 % потерю интенсивности  $\gamma$ -лука энергии 23.8 кэВ за счет фотопоглощения. Одновременно при такой толщине самопоглощение за счет мессбауэровского эффекта по расчету также не превышало этого значения, если учесть, что в металлическом олове при комнатной температуре вероятность испускания и поглощения квантов без отдачи составляет всего 4,5 %.

Определение активности мишени по  $\gamma$ -луку с  $E_\gamma = 23.8$  кэВ при неизменной геометрии регистрации было проведено дважды: через 40 и 100 сут после окончания облучения при 10-часовой длительности каждой серии. По результатам обеих независимых серий измерений было установлено, что скорость счета  $\gamma$ -квантов с  $E_\gamma = 23.8$  кэВ в начальный момент ( $t = 0$ ) составляла  $(9.8 \pm 0.5) \times 10^{-2}$  отсчет./с.

Отсюда, используя приведенную выше формулу, при  $R = 1$ ;  $n = 6.9 \cdot 10^{18}$  атом/см<sup>2</sup> и принимая, что квантовый выход  $\gamma$ -квантов с  $E_\gamma = 23.8$  кэВ на один акт распада  $^{119m}\text{Sn}$  равен  $0.154 \pm 0.016$  [3], установили, что сечение возбуждения изомерного состояния ядра  $^{119}\text{Sn}$  составляет  $\sigma = (8.2 \pm 2.5) \cdot 10^{-27}$  см<sup>2</sup>.

В заключение нужно отметить, что для исследованных ядер с ростом энергии электронов в сечении возбуждения следует ожидать проявления максимума. Это связано в отличие от обычного  $\gamma$ -распада с вкладом в амплитуду данного процесса полного набора мультипольных моментов перехода (вплоть до  $L_{\max} = j_g + j_e$ , где  $j_g$  и  $j_e$  — спины основного и возбужденного состояний ядра). Поэтому, если руководствоваться задачей поиска ядра, наиболее подходящего для наблюдения реакции стимулированного  $\gamma$ -излучения, необходимо изучить энергетическую зависимость сечения возбуждения всех известных ядерных изомеров.

Авторы весьма признательны А. И. Новикову и Ю. Ф. Родионову за помощь в работе.

#### СПИСОК ЛИТЕРАТУРЫ

1. Foin C. — Nucl. Phys., 1968, v. A113, p. 241.
2. Peterson H., Antman S., Grunditz Y. — Z. Phys., 1970, Bd 233, S. 260.
3. Benezer-Koller N., Fink T. — Nucl. Phys., 1971, v. A161, p. 123.

Поступило в Редакцию 30.03.81